

ДИФРАКЦИЯ ЭЛЕКТРОМАГНИТНЫХ ВОЛН ПРИ КОСОМ ПАДЕНИИ НА СИСТЕМУ ИЗ ДВУХ СКРЕЩЕННЫХ ПЕРИОДИЧЕСКИХ ЛЕНТОЧНЫХ РЕШЕТОК

В. В. Щербак

Харьков

1. На рис. 1 изображена периодическая структура, состоящая из двух ленточных решеток, расположенных на расстоянии r друг от друга. Направления щелей и лент верхней и нижней решеток составляют между собой угол $\psi \neq 0$. Ленты предполагаются бесконечно тонкими и идеально проводящими.

Пусть на решетку, изображенную на рис. 1, со стороны $z > 0$ набегают плоская монохроматическая линейно поляризованная волна

$$\vec{E}, \vec{H} \sim \exp\{ik_y y + ik_x x - ik_z z - ikt\} \quad (1)$$

(при $k_x^2 + k_y^2 < k^2$ это обычная плоская волна, а при $k_x^2 + k_y^2 > k^2$ — неоднородная плоская волна, затухающая в направлении $-z$).

Из соображений симметрии следует, что искомое поле дифракции (с точностью до множителя $e^{ik_y y + ik_z z}$) будет периодически с периодом a в направлении y и с периодом b в направлении $y' = y \cos \psi - x \sin \psi$, и поэтому может быть разложено в двойной ряд Фурье вида

$$\vec{E}, \vec{H} \sim \sum_{nm} \vec{C}_{nm}(z) e^{ih_n y + i g_m y'}, \quad (2)$$

где

$$h_n = \frac{2\pi}{a}(n + s); \quad g_m = \frac{2\pi}{b}(m + \Omega), \quad (3)$$

а через s и Ω соответственно обозначены дробные части отношений $\frac{a}{2\pi} k_y$ и $\frac{b}{2\pi}(k_y \cos \psi - k_x \sin \psi)$. Целые части этих же величин обозначены индексами p и l (e^{-ikt} в дальнейшем опускаем). Учитывая что поля (2)

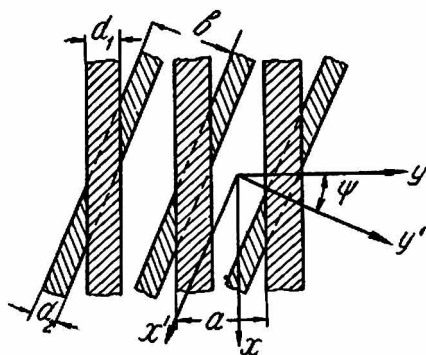


Рис. 1. Двухслойная двойкопериодическая структура из ленточных диафрагм.

должны удовлетворять волновому уравнению и условию излучения, можно записать x -вые составляющие этих полей в трех областях пространства ($z > 0$; $0 > z > -r$; $z < -r$) в следующем виде:

$$E_x^1 = A e^{i(h_p y + i g_l y' - i \gamma_{lm} z)} + \sum_{nm} a_{nm} e^{i(h_n y + i g_m y' + i \gamma_{nm} z)}; \quad (4)$$

$$E_x^2 = \sum_{nm} \{c_{nm} e^{-i \gamma_{nm} z} + d_{nm} e^{i \gamma_{nm} (z+r)}\} e^{i(h_n y + i g_m y')};$$

$$E_x^3 = \sum_{nm} b_{nm} e^{-i \gamma_{nm} (z+r)} e^{i(h_n y + i g_m y')};$$

$$H_x^1 = B e^{i(h_p y + i g_l y' - i \gamma_{lp} z)} + \sum_{nm} a'_{nm} e^{i(h_n y + i g_m y' + i \gamma_{nm} z)}; \quad (5)$$

$$H_x^2 = \sum_{nm} \{c'_{nm} e^{-i \gamma_{nm} z} + d'_{nm} e^{i \gamma_{nm} (z+r)}\} e^{i(h_n y + i g_m y')};$$

$$H_x^3 = \sum_{nm} b'_{nm} e^{-i \gamma_{nm} (z+r) + i h_n y + i g_m y'};$$

где

$$\gamma_{nm} = \sqrt{k^2 - g_m^2 - h_n^2 - 2g_m h_n \cos \psi}, \quad (6)$$

а амплитуды E_x^1 и H_x^1 -составляющей падающей волны обозначены соответственно через A и B . Остальные компоненты полей выражаются через E_x^2 и H_x^2 из уравнения Максвелла.

Неизвестные амплитуды удовлетворяют соотношениям

$$\begin{aligned} A \delta_{(n-p)(m-l)} + a_{nm} &= c_{nm} + e_{nm} d_{nm}; \\ -B \delta_{(n-p)(m-l)} + a'_{nm} &= -c'_{nm} + e_{nm} d'_{nm}; \\ b_{nm} &= c_{nm} e_{nm} + d_{nm}; \quad b'_{nm} = c'_{nm} e_{nm} - d'_{nm} \end{aligned} \quad (7)$$

вытекающим из непрерывности E_x и E_y при $z = 0$ и $z = -r$, где $e_{nm} = e^{i \gamma_{nm} r}$, а $\delta_{(n-p)(m-l)}$ — произведение символов Кронекера $\delta_{n-p} \delta_{m-l}$. Воспользовавшись также граничными условиями непрерывности тангенциальной составляющей магнитного поля на щелях решеток и равенства нулю E_x и E_y на лентах решеток, получим четыре пары функциональных уравнений

$$\begin{aligned} \sum_{nm} (c_{nm} + d_{nm} e_{nm}) e^{i(h_n + g_m) y - i g_m x} &= 0; \quad y \in \mathcal{L}_1 \\ \sum_{nm} c_{nm} \gamma_{nm} e^{i(h_n + g_m) y - i g_m x} &= A \gamma_{lp} e^{i(h_p + g_l) y - i g_l x}; \quad y \in \mathcal{C}_1 \end{aligned} \quad (8)$$

$$\sum_{nm} c'_{nm} e^{i(h_n + g_m) y - i g_m x} = B e^{i(h_p + g_l) y - i g_l x}; \quad y \in \mathcal{C}_1 \quad (9)$$

$$\sum_{nm} (c'_{nm} - d'_{nm} e_{nm}) \gamma_{nm} e^{i(h_n + g_m) y - i g_m x} = 0; \quad y \in \mathcal{L}_1$$

$$\sum_{nm} D_{nm} e^{i(g_m + h_n) y' + i g_m x'} = 0, \quad y' \in \mathcal{C}_2; \quad (10)$$

$$\sum_{nm} (D_{nm} - e_{nm} C_{nm}) \gamma_{nm} e^{i(g_m + h_n) y' + i g_m x'} = 0, \quad y' \in \mathcal{L}_2;$$

$$\sum_{nm} (D'_{nm} + e_{nm} C'_{nm}) e^{i(g_m + h_n) y' + i g_m x'} = 0, \quad y' \in \mathcal{L}_2;$$

$$\sum_{nm} D'_{nm} \gamma_{nm} e^{i(g_m + h_n) y' + i g_m x'} = 0, \quad y' \in \mathcal{C}_2, \quad (11)$$

где \mathcal{L}_1 — область изменения y ($b > |2y| > d_1$), соответствующая ленте первой решетки; \mathcal{L}_2 — область изменения y' ($a > |2y'| > d_2$), соответствующая

ленте второй решетки; области Π_1 и Π_2 соответствуют щелям решеток;

$\sum_{n,m}$ везде означает $\sum_{nm=-\infty}^{\infty}$. Кроме того, здесь введены обозначения $\beta = \cos \psi$; $\alpha = \sin \psi$, а через

$$\begin{aligned} C_{nm} &= \beta c'_{nm} + \alpha \left\{ -\frac{k\gamma_{nm}}{k^2 - \alpha^2 g_m^2} c_{nm} - \frac{(h_n + gm^3) \alpha gm}{k^2 - \alpha^2 g_m^2} c'_{nm} \right\}; \\ D_{nm} &= \beta d'_{nm} + \alpha \left\{ \frac{k\gamma_{nm}}{k^2 - \alpha^2 g_n^2} d_{nm} - \frac{(h_n + gm^3) \alpha gm}{k^2 - \alpha^2 g_m^2} d'_{nm} \right\}; \\ C'_{nm} &= \beta c_{nm} + \alpha \left\{ \frac{k\gamma_{nm}}{k^2 - \alpha^2 g_m^2} c'_{nm} - \frac{(h_n + gm^3) \alpha gm}{k^2 - \alpha^2 g_m^2} c_{nm} \right\}; \\ D'_{nm} &= \beta d_{nm} + \alpha \left\{ -\frac{k\gamma_{nm}}{k^2 - \alpha^2 g_n^2} d'_{nm} - \frac{(h_n + gm^3) \alpha gm}{k^2 - \alpha^2 g_m^2} d_{nm} \right\} \end{aligned} \quad (12)$$

обозначены амплитуды составляющих поля E_x и H_x в области $0 > z > -l$ $x' = x \cos \psi + y \sin \psi$).

Совершенно так же рассматривается случай, когда в системе (рис. 1) одну или обе одноэлементные решетки заменить на многоэлементные периодические решетки [4], у которых на период приходится несколько лент и щелей различной ширины. При этом запись полей и уравнения относительно амплитуд не изменяются; усложнится только конфигурация областей Π_1 ; Π_2 ; Π_3 и Π_4 . Дальнейший ход решения более подробно будет разобран для случая одноэлементных скрещенных решеток.

2. Способ решения уравнений (8)–(11) рассмотрим на примере (8). Поскольку они одинаково выполняются при любых x , то приравнявая нулю коэффициенты при $e^{i\mu x}$, заменим (8) на бесконечное количество пар более простых уравнений

$$\begin{cases} \sum_n (c_{n\mu} + d_{n\mu} e_{n\mu}) e^{i(h_n + \beta g_n) y} = 0, & a > |2y| > d_1; \\ \sum_n (c_{n\mu} - A \delta_{(n-l)(n-\nu)}) \gamma_{n\mu} e^{i(h_n + \beta g_n) y} = 0, & d_1 > |2y|; \end{cases} \quad (13)$$

$(\mu = 0, \pm 1, \pm 2, \pm 3, \dots)$.

Введем следующие обозначения:

$$\begin{aligned} x &= \frac{ka}{2\pi}; \quad s_\mu = s + \beta \frac{a}{b} (\mu + \Omega); \quad \Omega = \Omega + \beta \frac{b}{a} (\nu + s); \\ \xi_{n\mu} &= (n + s_\mu) \frac{|n|}{n} + i \sqrt{x^2 - \left[\frac{a}{b} \alpha (\mu + \Omega) \right]^2 - (n + s_\mu)^2}; \\ \xi'_{m\mu} &= (m + \Omega_\nu) \frac{|m|}{m} + i \sqrt{\left(\frac{b}{a} \right)^2 - \left[\frac{b}{a} \alpha (\nu + s) \right]^2 - (m + \Omega_\nu)^2}; \\ x_{n\mu} &= (c_{n\mu} + d_{n\mu} e_{n\mu}) (n + s_\mu). \end{aligned} \quad (14)$$

В этих обозначениях каждая пара уравнений (13) может быть представлена в виде

$$\begin{cases} \sum_n \frac{x_{n\mu}}{n + s_\mu} e^{i n \frac{\pi y}{a}} = 0; \quad \pi > \left| \frac{\pi y}{a} \right| > \frac{\pi d_1}{2a}; \\ \sum_n x_{n\mu} \frac{|n|}{n} \frac{\xi_{n\mu}}{n + s_\mu} e^{i n \frac{\pi y}{a}} = J \left(e^{i \frac{\pi y}{a}} \right); \quad \frac{\pi d_1}{2a} > \left| \frac{\pi y}{a} \right|, \end{cases} \quad (15)$$

где $J(e^{\frac{i\pi n}{a}})$ — быстроходящийся ряд по степеням величины $e^{\frac{i\pi n}{a}}$. Производя обычным способом [1—3] решение уравнений (15) путем формулировки эквивалентных этим уравнениям краевых задач сопряжения, получим бесконечную двумерную систему линейных алгебраических уравнений

$$\begin{aligned} & -(\nu + s_\mu)(c_{\nu\mu} + d_{\nu\mu}e_{\nu\mu}) + \sum_n (c_{n\mu} + d_{n\mu}e_{n\mu}) \xi_{n\mu} W_\nu^n = \\ & = A\delta_{\mu-1}(\xi_{\mu\mu} - p - s_\mu) W_\nu^\mu + \sum_n d_{n\mu}e_{n\mu}(\xi_{n\mu} - n - s_\mu) W_\nu^n; \end{aligned} \quad (16)$$

$$(\nu, \mu = 0, \pm 1, \pm 2, \pm 3 \dots),$$

где величины W_ν^n , зависящие от $u_1 = \cos \frac{\pi d_1}{a}$, а также от s_μ , равны

$$W_\nu^n = V_\nu^n R_\nu - V_\nu^n R_\nu. \quad (17)$$

Интегралы V_ν^n , R_ν , выражающиеся через полиномы Лежандра $P_n(u)$, определены в [1], а величины

$$V_\nu^n = \sum_m \frac{V_m^n}{m + s_\mu} (-1)^m; \quad R_\nu = \sum_m \frac{R_m}{m + s_\mu} (-1)^m \quad (18)$$

выражены в [2] через функции Лежандра $P_{s-1}(u)$, $P_{1-s}(u)$.

Определённая из (8) система уравнений (16) пока незамкнута. Производя решение (9)—(11), получим еще три бесконечные двумерные системы линейных алгебраических уравнений (здесь они не выписываются), образующие совместно с (16) и равенствами (12) замкнутую неоднородную систему. С помощью дополнительных преобразований этой системы [3] можно получить уравнения, более удобные для численных расчетов

$$\begin{aligned} c_{\nu\mu} &= A\delta_{\mu-1}T_{\nu-\mu}^{1,\nu} + \sum_n d_{n\mu}R_{\nu-n}^{1,\nu}e_{n\mu}; \\ c'_{\nu\mu} &= B\delta_{\mu-1}F_{\nu-\mu}^{1,\nu} + \sum_n d'_{n\mu}K_{\nu-n}^{1,\nu}e_{n\mu}; \\ D_{\nu\mu} &= \sum_m C_{\nu m}K_{\mu-m}^{2,\nu}e_{m\mu}; \\ D'_{\nu\mu} &= \sum_m C'_{\nu m}R_{\mu-m}^{2,\nu}e_{m\mu}; \end{aligned} \quad (19)$$

$$(\nu, \mu = 0, \pm 1, \pm 2, \pm 3, \dots),$$

где

$$R_{\nu-n} = T_{\nu-n} - \delta_{\nu-n}; \quad F_{\nu-n} = \delta_{\nu-n} - K_{\nu-n}, \quad (20)$$

а $T_{\nu-n}^{1,\nu}$ и $K_{\nu-n}^{1,\nu}$ определяются соответственно из вспомогательных систем уравнений

$$-(\nu + s_\nu)T_{\nu-n} + \sum_l T_{l-n}W_l^{\nu'}\xi_{l\nu} = W_\nu^n(\xi_{n\nu} - n - s_\nu), \quad (21)$$

$$-(\nu + s_\nu)K_{\nu-n} + \sum_l K_{l-n}W_l^{\nu'}\xi_{l\nu} = \bar{W}_\nu^n(\xi_{n\nu} - n - s_\nu). \quad (22)$$

Интегралы \bar{W}_ν^n в случае одноэлементной решетки отличаются от W_ν^n только множителем $(-1)^{\nu+n}$ и заменой аргумента u_1 на $-u_1$. Если в W_ν^n и \bar{W}_ν^n произвести замену u_1 на $u_2 = \cos \frac{\pi d_2}{b}$ и заменить в (21), (22) величины $\xi_{n\nu}$ и s_ν на $\xi'_{m\mu}$ и Ω_ν , то эти уравнения (после замены индексов ν , n , μ соответственно на μ , m , ν) будут определять величины $T_{\mu-m}^{2,\nu}$ и $K_{\mu-m}^{2,\nu}$.

Коэффициенты (20) являются коэффициентами преобразования гармоник спектра друг в друга на каждой из решеток, входящих в систему. Уравнения (19), таким образом, выражают через эти величины коэффициенты преобразования волн на всей системе в целом. Если в (19) подставить вместо коэффициентов (20) коэффициенты преобразования плоских волн на многоэлементной решетке [4], то получим решение задачи дифракции волн на двух скрещенных многоэлементных периодических решетках. При этом (как и в случае одноэлементных решеток) геометрические параметры обеих решеток могут быть произвольными.

3. В уравнениях (19) содержатся параметры e_{nm} , экспоненциально убывающие с ростом n, m . Учитывая это, можно при $\psi \neq 0$ доказать сходимость замкнутой бесконечной системы уравнений (12), (19) и законность применения метода редукции при ее численном решении. При не очень малом $\frac{r}{a}$ для получения достаточной точности вычисления в уравнениях (19) необходимо удерживать только те параметры $e_{nm} = e^{i\gamma_{nm}r}$, которые имеют мнимый показатель (члены, соответствующие незатухающим гармоникам). При этом для диапазона частот $0 < x^2 < 1 + (\frac{a}{b})^2 - 2 \frac{a}{b} \cos \psi$ (длинноволновая область) можно пренебречь всеми экспонентами, кроме l_{00} . При расчетах на ЭВМ для случая $x < 3$ при $\psi = \frac{\pi}{2}$ и нормальном падении волны ($p + s = l + \Omega = 0$) в уравнениях (19) удерживались первые девять экспонент e_{nm} для $|n|, |m| = 0, 1, 2$ (в этом случае $e_{nm} = e_{-n, -m} = e_{n, -m}$), а контроль за точностью вычислений производился с помощью проверки выполнения закона сохранения энергии

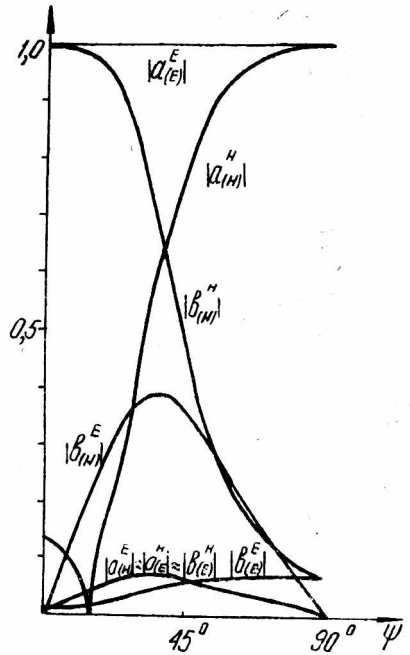


Рис. 2. Зависимость от угла скрещивания ψ собственных коэффициентов отражения $a_{(E)}^E$ и $a_{(H)}^H$ прохождения b_E^E и b_H^H поляризационного преобразования $a_{(E)}^H, a_{(H)}^E, b_{(E)}^H, b_{(H)}^E$ (по нулевой гармонике спектра) E_y или H_y — поляризованной волны при нормальном падении на скрещенные решетки.

$$0 = \Delta P = \sum_{nm} \{ |a_{nm}|^2 + |b_{nm}|^2 + |a'_{nm}|^2 + |b'_{nm}|^2 \} \frac{kx \operatorname{Re} \gamma_{nm}}{k^2 - g_m^2 z^2} - \{ |A|^2 + |B|^2 \} \operatorname{Re} \gamma_{pl} + 2 \{ \operatorname{Re} A \operatorname{Im} a_{pl} + \operatorname{Re} B \operatorname{Im} a'_{pl} \} \operatorname{Im} \gamma_{pl} \frac{k\gamma}{k^2 - g_l^2 z^2}. \quad (23)$$

Точность произведенных вычислений такова, что относительная величина ΔP была порядка 10^{-10} .

Анализ кривых рис. 2—4 и других, не представленных здесь результатов численного расчета, а также анализ аналитического решения позволяют сделать следующие выводы.

Дифрагирующая на скрещенных решетках единственная плоская (или неоднородная плоская) волна возбуждает на структуре бесконечный дву-

мерный спектр плоских и поверхностных волн. При $a = b$ и $\psi \rightarrow 0$ этот спектр превращается в одномерный. Поляризация первичного поля не сохраняется. Только нулевая гармоника поля сохраняет x -поляризацию первичного поля при $\psi = \frac{\pi}{2}$ и нормальном или наклонном ($l + \Omega = 0$)

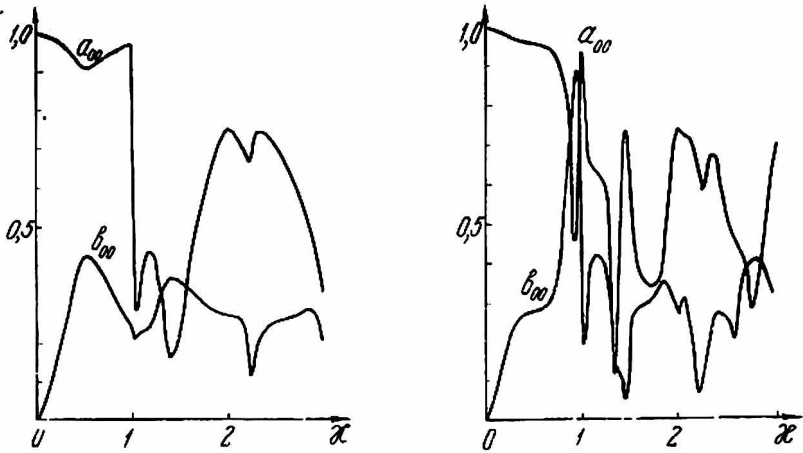


Рис. 3. Зависимость от x коэффициентов прохождения b_{00} и отражения a_{00} E_y -поляризованной волны (нормальное падение).

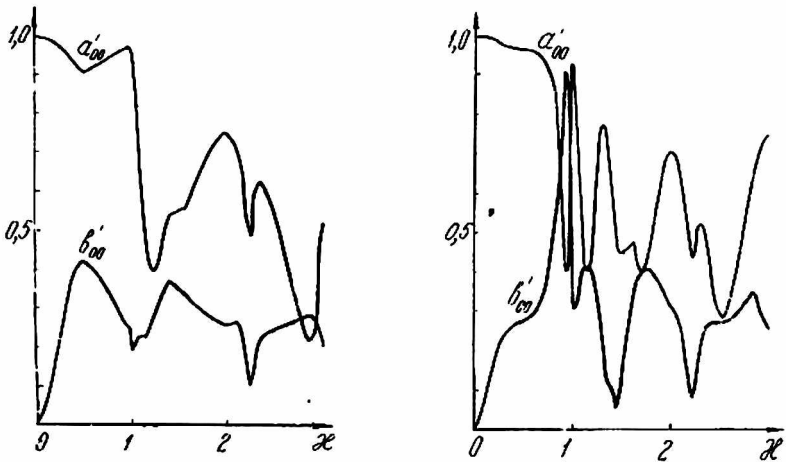


Рис. 4. Зависимость от x коэффициентов прохождения b'_{00} и отражения a'_{00} H_y -поляризованной волны.

падении волны. Большинство высших гармоник и в этом случае изменяет поляризацию. При изменении угла ψ от $\frac{\pi}{2}$ до нуля коэффициенты поляризационного преобразования для нулевой гармоники сначала увеличиваются (рис. 2), а затем при $\psi \rightarrow 0$ снова стремятся к нулю.

При большой густоте решеток ($x \ll 1$) система рис. 1 является экраном для электромагнитного излучения. При $\psi \sim \frac{\pi}{2}$, в отличие от случая $\psi = 0$ [5], степень экранировки не зависит от поляризации волн (рис. 2).

Зависимости коэффициентов преобразования волн от α носят осциллирующий характер. Частота осцилляций пропорциональна величине $\frac{r}{a}$. При этом экстремумы кривых близки к точкам, соответствующим частотам собственных колебаний системы. Кроме того, при $\alpha = \sqrt{n^2 + \left(\frac{a}{b}m\right)^2} + 2\frac{a}{b}nm\beta$ (точки скольжения [1, 2]) указанные кривые имеют изломы (рис. 3; 4; $\alpha = 1$; $\sqrt{2}$; 2), природа которых чисто дифракционная. Такие изломы наблюдаются и в случае дифракции на одной решетке [1].

Выполняется следствие теоремы взаимности [6], заключающееся в том, что отношения взаимных коэффициентов преобразования двух любых плоских однородных (или неоднородных) волн на системе рис. 1 равны отношениям их нормальных постоянных распространения.

Структуры, подобные системе, рассмотренной в данной работе, могут найти применение в технике квазиоптических линий передач, в антенной технике и в др. практических приложениях [7].

ЛИТЕРАТУРА

1. З. С. Агранович, В. А. Марченко, В. П. Шестопапов. ЖТФ, 32, № 4, 1962.
2. А. И. Адонина, В. П. Шестопапов. ЖТФ, 33, 6, 1963.
3. В. В. Щербак. Сб. «Радиотехника», вып. 1. Изд-во ХГУ, Харьков, 1966.
4. Л. Н. Литвиненко. Автореферат, Харьков, 1963.
5. О. А. Третьяков, В. П. Шестопапов. ЖТФ, 33, 10, 1963.
6. М. Л. Левин. ДАН СССР, 60, 787, 1948.
7. П. Л. Капица. Сб. «Электроника больших мощностей», 1, стр. 7, 1965.